

546.8—19'665/654/46

ИССЛЕДОВАНИЕ ГИДРИРОВАНИЯ СПЛАВОВ

 $Mg + 15 \text{ мас. \% La}$ и $Mg + 15 \text{ мас. \% Er}$

ВЕРБЕЦКИЙ В. Н., КЛЯМКИН С. П.

Взаимодействие с водородом сплавов систем Mg -р.з.м. особое место обычно занимает магний с лантаном, церием, ниобием, хотя свойствами доступности наиболее перспективны для создания новых аккумуляторов водорода. Однако столь же значительный интерес к процессу гидрирования сплавов магния с элементами иттриевой подгруппы р.з.м. из-за меньшего атомного радиуса («лантаноидное сжатие») и высокой растворимостью в магнии — на несколько порядков выше, по сравнению для лантана и церия.

Взаимодействие с водородом структура металлических сплавов, связанная с строением диаграммы состояния, имеет определяющее значение. Как мы в работе [1] на примере дозонтического сплава состава $^1 Mg + 10\% La$, крупных зерен магния первичной кристаллизации является наиболее медленной стадией процесса, так как из-за малой удельной поверхности La —гидрида лантана каталитическое влияние LaH_3 для крупных частиц еще ослаблено. По этой причине практическое использование в качестве водорода богатых магнием р.з.м.-содержащих сплавов затруднено. При сравнимой емкости они характеризуются медленной скоростью взаимодействия и особой сложностью активации — проведение первого гидрирования,ование твердых растворов Mg -р.з.м. не изучалось, однако можно предположить, что равномерное распределение в магниевой матрице активного по отношению к р.з.м. позволяет провести первый цикл гидрирования в более мягких

условиях. Особенность поведения при взаимодействии с водородом растворов р.з.м. и влияния его на реакцию гидрирования магния в настоящей работе сравнивается с результатами исследования процессов гидрирования сплавов $Mg + 15\% Er$.

Материалы и их обсуждение. Образцы готовили сплавлением шихты металлов (магний — 99,95%, эрбий и лантан — 99,75%) под $LiCl$. Гидрирование листовых пеотожженных сплавов изучали при давлении водорода 50 атм и температурах 280—360°С на макрообразом около 5 мм) и механически измельченных в инертной среде (менее 40 мкм). Методики металлографического и химического анализа описаны в работе [1], микроскопические измерения проводили на электронном растровом сканирующем микроскопе «Микрон».

Химическая характеристика исходных сплавов. В соответствии с диаграммой состояния $Mg + 15\% Er$ представляет собой твердый раствор эрбия в магниевом ячейке, определенные по данным РФА (табл. 1), находим в соответствии с литературными данными: $a = 3,217 \pm 0,002 \text{ \AA}$ [2, с. 59]. Сплав $Mg + 15\% La$ является диффузионно-однородным с крупными кристаллами магния первичной кристаллизации (около 20 мкм) и чрезвычайно дисперсной эвтектической фазой и интерметаллического соединения (ИМС) La_2Mg_3 .

Гидрирование (активация). Различия в протекании первого цикла гидрирования изученных сплавов проявляются как в химизме процесса, так и в физических особенностях. Взаимодействие с водородом сопровождается выделением растворенного в магниевой матрице в виде гидрида: $[Er]_{Mg} + H_2 \rightarrow ErH_x$.

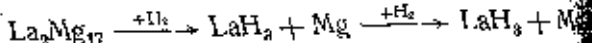
Составы сплавов в мас. %.

Рентгенографическая характеристика сплава Mg+15% Er до и после гидрирования при 280° С в течение 6 ч

Исходный сплав			Продукты гидрирования			
I	d	ref Mg	I	d	Mg	MgH ₂
—	—	—	Сл.	3,232	—	—
—	—	—	Ср.	3,164	—	140
—	—	—	С.	2,931	—	—
—	—	—	Ср.	2,814	—	—
C.	2,783	100	С.	2,780	100	—
C.	2,807	002	>	2,598	002	—
—	—	—	Ср.	2,538	—	—
—	—	—	Сл.	2,501	—	101
O.c.	2,468	101	O.c.	2,451	101	—
—	—	—	Сл.	2,249	—	200
C.	1,903	102	Ср.	1,899	102	—
—	—	—	Ср.	1,804	—	—
—	—	—	Сл.	1,784	—	—
—	—	—	*	1,672	—	211
Ср.	1,608	110	Ср.	1,601	110	—
—	—	—	Сл.	1,580	—	—
—	—	—	Ср.	1,539	—	—
—	—	—	Сл.	1,521	—	—
C.	1,473	103	Ср.	1,408	103	—
Ср.	1,369	112	Сл.	1,303	112	—
*	1,347	201	*	1,344	201	—
Сл.	1,304	004	*	1,170	—	—
*	1,229	202,104	—	—	—	—
*	1,179	113	—	—	—	—
*	1,088	203	—	—	—	—

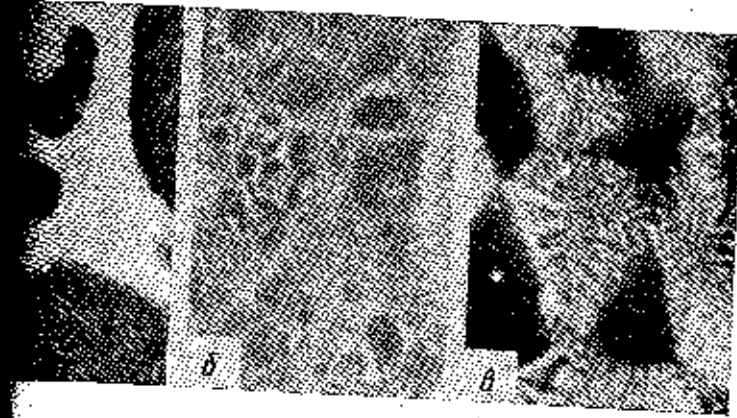
Рентгенофазовый анализ показал, что гидрид эрбия является двухфазным — смесь кубического дигидрида и гексагидрида (табл. 1). В соответствии с границами двухфазности $\text{ErH}_2\text{-ErH}_3$ — $2,31 < x < 2,82$ [3] и исходя из преобладания кубической фазы на дифрактограмме, примерный состав продукта может быть определен как $\text{ErH}_{2,4-2,5}$. Электронные исследования показали, что уже при 280° С после неполной выдержки в атмосфере водорода (около 1 ч) гидрирует на поверхности образца сетку, вероятно, по границам кристаллитов магния размером 0,5–3 мкм (фиг. 1, б). Площадь ячеек магниевой фазы несколько уменьшается ($a=3,2 = 5,210 \pm 0,002$ Å), а фаза MgH_2 обнаруживается на поверхности лишь после 6 ч гидрирования. Для дисперсных порошков стекел гидрирования (α) при 280° С после 6 ч достигает

В этих же условиях сплав Mg+15% La с водородом существует ни в компактном, ни в порошкообразном состоянии. При температуре 325° С протекает реакция гидрогенолиза $\text{La}_2\text{Mg}_{17}$:



Как пами было показано ранее [1], реакция (1) на границах ИМС приводят к образованию металлического магния, который переходит в MgH_2 . Относительное повышение температуры гидрирования сплава Mg-La по сравнению с эрбийсодержащими ИМС $\text{La}_2\text{Mg}_{17}$ в исходном сплаве, видно из данных табл. 1, обусловливающей большую подвижность атомов эрбия.

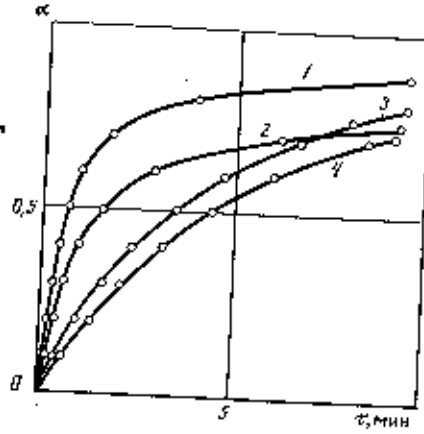
На фиг. 1, в показан участок поверхности сплава Mg-La, выдержанного в атмосфере водорода при 325° С. В областях ИМС $\text{La}_2\text{Mg}_{17}$ в исходном сплаве, видно образование



Фиг. 1

Микроструктуры исследованных сплавов: а — сплав $Mg + 15\%$ La в исходном состоянии, б — сплав $Mg + 15\%$ La прорования ($280^\circ C$, 1 ч), в — сплав $Mg + 15\%$ La прорования ($325^\circ C$, 6 ч), $\times 15000$

Поглощение водорода $Mg + 15\%$ La (1, 2) и Er (3, 4) при 15 атм и температурах $340^\circ C$ (1, 3) и $310^\circ C$ (2, 4)



Фиг. 2

гидрида лантана размером около $0,05 \times 0,5$ мкм. Такая структура отличается высокой дисперсностью индивидуальных фаз и большой удельной межфазной поверхности S .

Микроскопических исследований нами была рассчитана величина удельной активной межфазной поверхности прорования изученных сплавов. Расчет проводили на основе сферической форме дозвтектических и эвтектических зерен гидрида с лантаном, а также магниевых, частиц, образующихся переднего раствора с эрбием. Для продуктов гидрогенизации величину межфазной поверхности оценивали, исходя из формы выделений гидрида лантана.

Размеры частиц (α) и рассчитанные значения S приведены на фиг. 2. Видно, что величина активной поверхности для различных составляющих отличается более чем на порядок. Отсюда тот факт, что при первом гидрировании порошка лантанового сплава при температуре $325^\circ C$ после 6 ч достигается поглощения $\alpha = 0,6 - 0,7$, соответствующая полному гидрогенизированию (1) и частичному гидрированию магниевой субстанции, а крупные зерна с меньшей удельной поверхностью в условиях с водородом практически не взаимодействуют. Гидрирование сплавов в процессе активации обеспечивается при температурах $360^\circ C$ (Mg -La) и $325^\circ C$ (Mg -Er).

Свойства с водородом активированных сплавов. На фиг. 2 приведены поглощении водорода сплавами, прошедшими 10 активаций абсорбции — десорбции. В активированном состоянии сплав характеризуется при аналогичных условиях скоростью гидрирования и максимальной степенью пре-

**Морфологическая характеристика активированных сплавов
Mg+15% La и Mg+15% Er**

Параметр	Mg-Er	Mg-La	
		продукты гидрогенолиза	жигнай эвтектический диск
<i>d</i> , мкм	4	0,05×0,5	1
<i>S</i> , м ² /г	3,6	10,8	3,6

$$S_{cp}=4,4 \text{ м}^2$$

вращения. Это связано с тем, что при неоднородности гранулого состава скорость реакции на разных ее этапах преимущественно определяется различными структурными составляющими. При $\alpha \leq 0,7-0,8$ процесс гидрирования сплава Mg-La связан в взаимодействием с водородом продуктов гидрогенолиза ИМ и дисперсных частиц магния, отличающихся более развитой поверхностью, чем структурные элементы сплава Mg-Er.

На завершающей стадии, когда наибольшим становится радиус аэрозионной зоны, падение скорости реакции сильнее выражено для сплава, содержащего лантан, так как для Mg-Er, где отсутствуют дозвтектические зерна, распределение магниевых частиц более равномерно.

Выводы. Методами металлографического и рентгенофазового анализа с использованием растровой электронной микроскопии изучено взаимодействие с водородом сплавов Mg+15% La и Mg+15% Er. Первое гидрирование сопровождается образованием распадом твердого раствора и равномерным выделением в виде смеси ErH₂ и ErH₃ по границам равноосных магниевых частиц. Для второго гидрирования приходит к гидрогенолизу интерметаллической La₂Mg₁₁ с образованием дисперской игольчатой структуры, и последующему гидрированию состояния сплава Mg-La характеризуется большей скоростью, чем сплав Mg-Er, благодаря меньшему среднему размеру магниевых частиц и величине их удельной активной поверхности.

ЛИТЕРАТУРА

1. Вербецкий В. Н., Клямкин С. Н., Семененко К. Н. Взаимодействие с водородом — РЗМ с магнием — РЗМ с водородом // Изв. АН СССР. Неорг. материалы. 1980. № 1.
2. Роглик Л. Л. Магниевые сплавы, содержащие редкоземельные металлы. М.: Наука, 1980.
3. Антонова М. М. Свойства гидридов металлов: Справочник. Киев: Наука и техника, 1975.

Москва

Поступила 15.02.1988